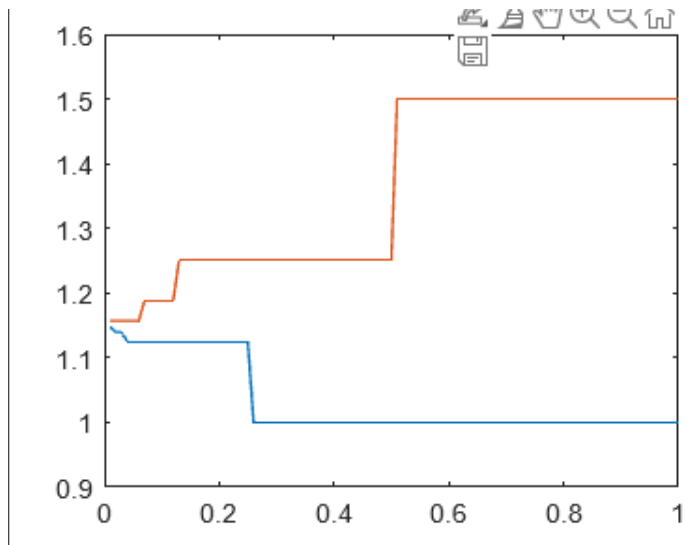


# 1η Εργασία στις Τεχνικές Βελτιστοποίησης

## 1ο Θέμα:

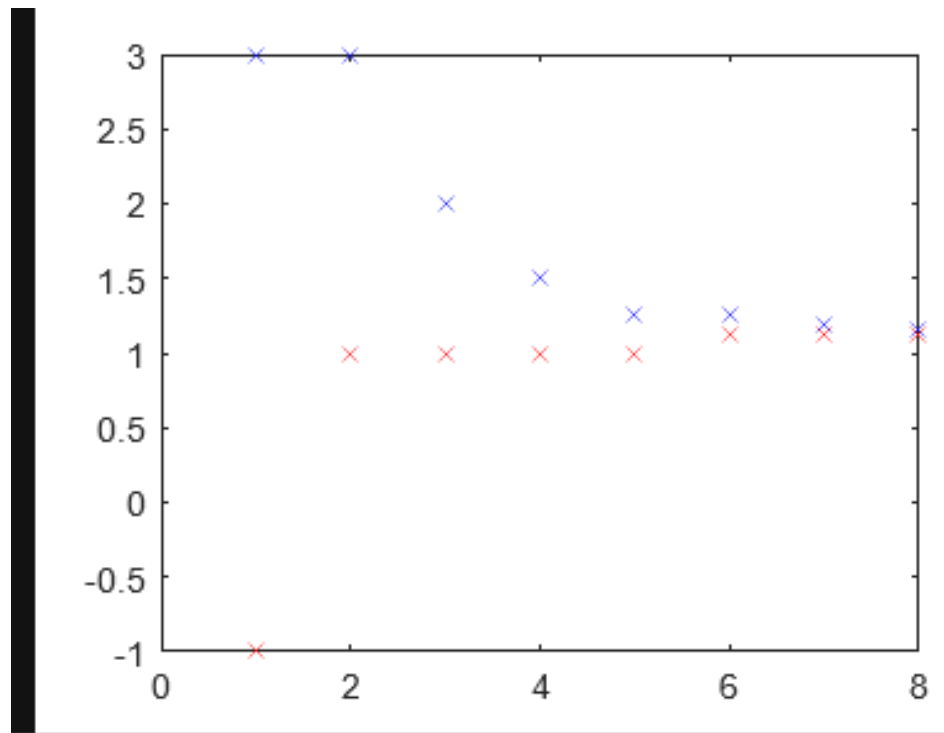
Εδώ υλοποιώ τον αλγόριθμο για τη μέθοδο της διχοτόμου χωρίς τη χρήση παραγώγων για διάφορα  $\epsilon$  και  $l$ .

**Διάγραμμα 1.1:**



Εδώ με την κόκκινη γραμμή παριστάνεται το άνω άκρο του τελικού διαστήματος, ενώ με το μπλε είναι το κάτω άκρο για τη συνάρτηση  $f_1$ . Τρέχω τον αλγόριθμο για 100 διαφορετικά  $l$ , αυξάνοντας το σε κάθε επανάληψη. Για αυτό και παρατηρούμε στο διάγραμμα πως στην αρχή έχω τη μεγαλύτερη ακρίβεια καθώς το  $l$  είναι μικρότερο. Προσεγγίζω την πραγματική τιμή, η οποία είναι περίπου 1.15, ενώ όσο αυξάνεται το  $l$ , παρατηρούμε ότι το διάστημα μεγαλώνει πολύ, με αποτέλεσμα να μην μπορούμε να εξαγάγουμε ασφαλή συμπεράσματα για το ελάχιστο της συνάρτησης.

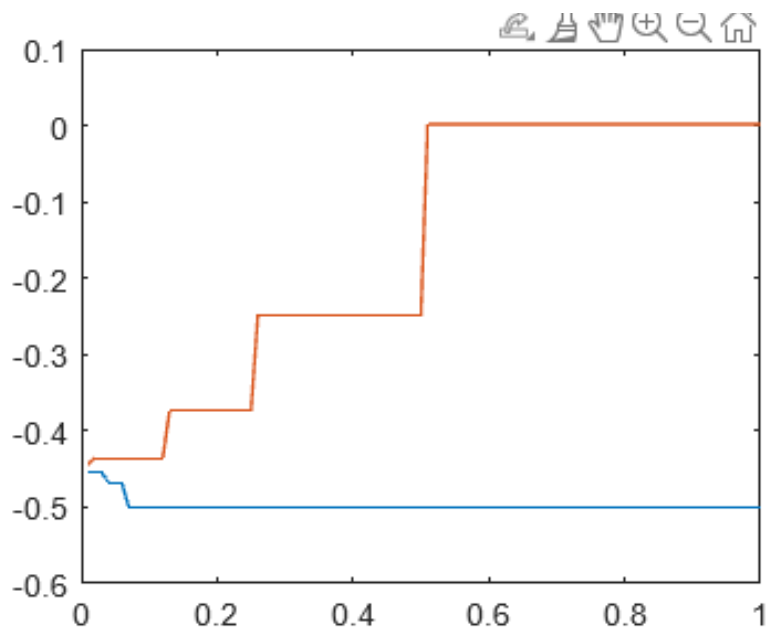
**Διάγραμμα 1.2:**



Εδώ παρατηρούμε το διάγραμμα  $(k, a_k)$  με κόκκινα X και το διάγραμμα  $(k, b_k)$  με τα μπλε. Όπως φαίνεται, ο αλγόριθμος χρειάζεται 8 επαναλήψεις για να συγκλίνει στο τελικό διάστημα, σύμφωνα με ένα συγκεκριμένο  $l$ , το οποίο στο συγκεκριμένο παράδειγμα είναι  $l=0.05$ . Βλέπουμε πως σε κάθε επανάληψη μόνο το  $a_k$  ή το  $b_k$  αλλάζει, όπως άλλωστε αναμενόταν. Αν αλλάξουμε το  $l$ , θα έχουμε ελαφρώς διαφορετικό διάγραμμα, ωστόσο η φιλοσοφία παραμένει η ίδια. Θα μπορούσε να είναι και με συνεχή γραμμή, ωστόσο επέλεξα να το παρουσιάσω ως διακριτές τιμές, γιατί σε κάθε επανάληψη τα  $a_k$ ,  $b_k$  έχουν συγκεκριμένες τιμές, οι οποίες και φαίνονται στο παραπάνω διάγραμμα.

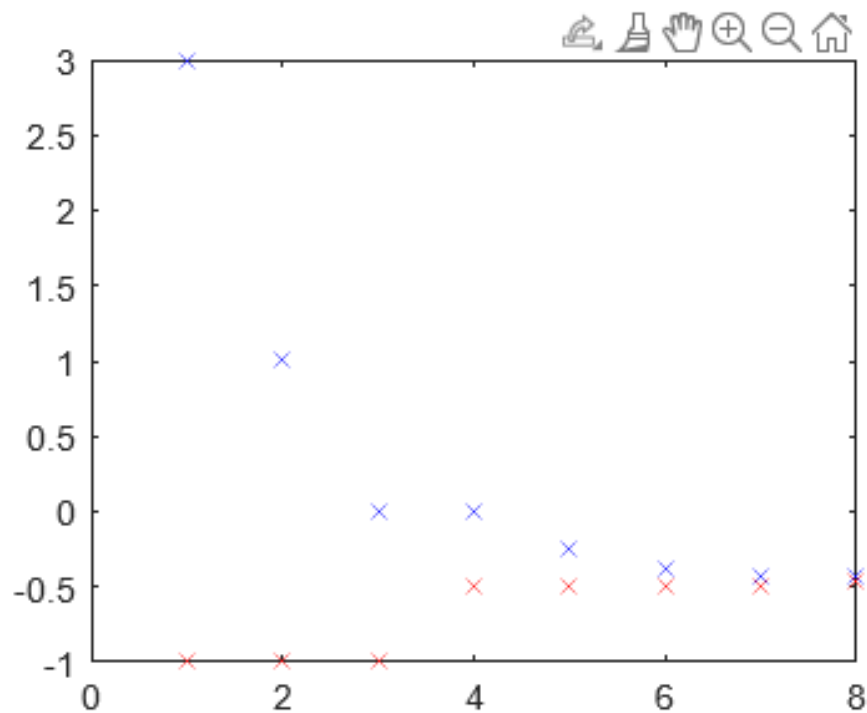
**Σχόλιο:** Παρακάτω ακολουθούν τα αντίστοιχα διαγράμματα για τις συναρτήσεις  $f_2$ ,  $f_3$  με τη χρήση του ίδιου αλγορίθμου

**Διάγραμμα 1.3:**



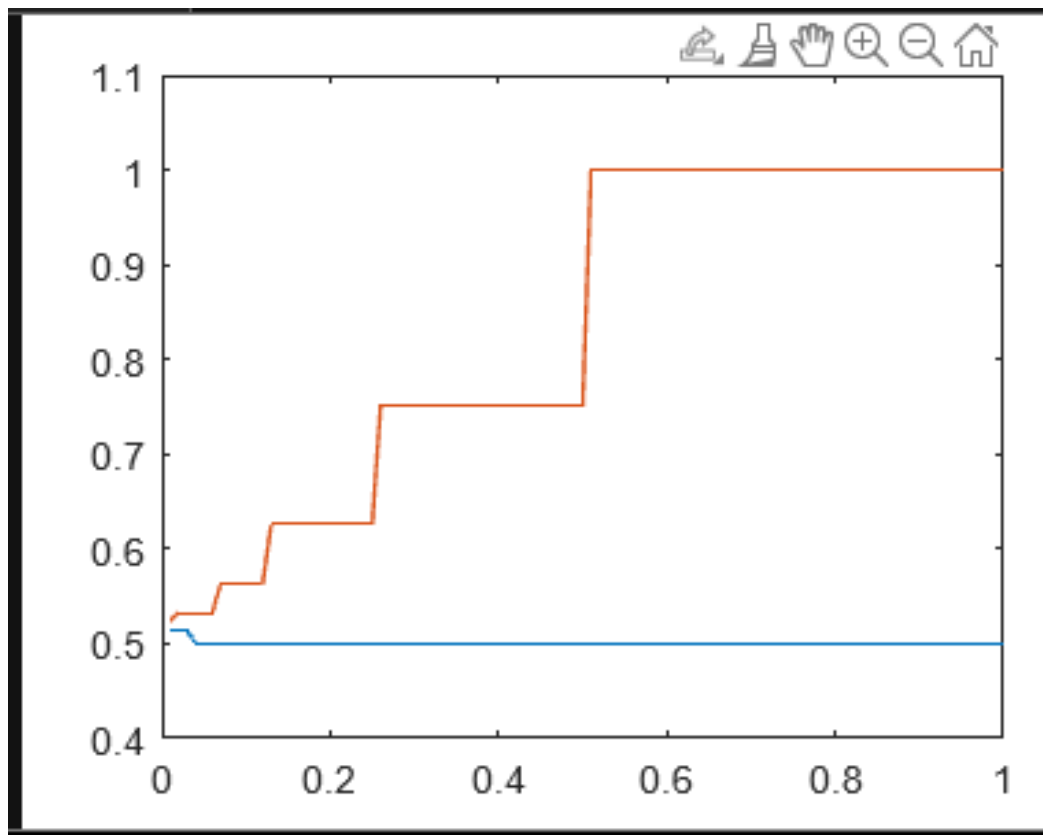
Τελικό διάστημα αναζήτησης για την  $f_2$ , για μικρό  $I$  συγκλίνει στην πραγματική τιμή

**Διάγραμμα 1.4:**



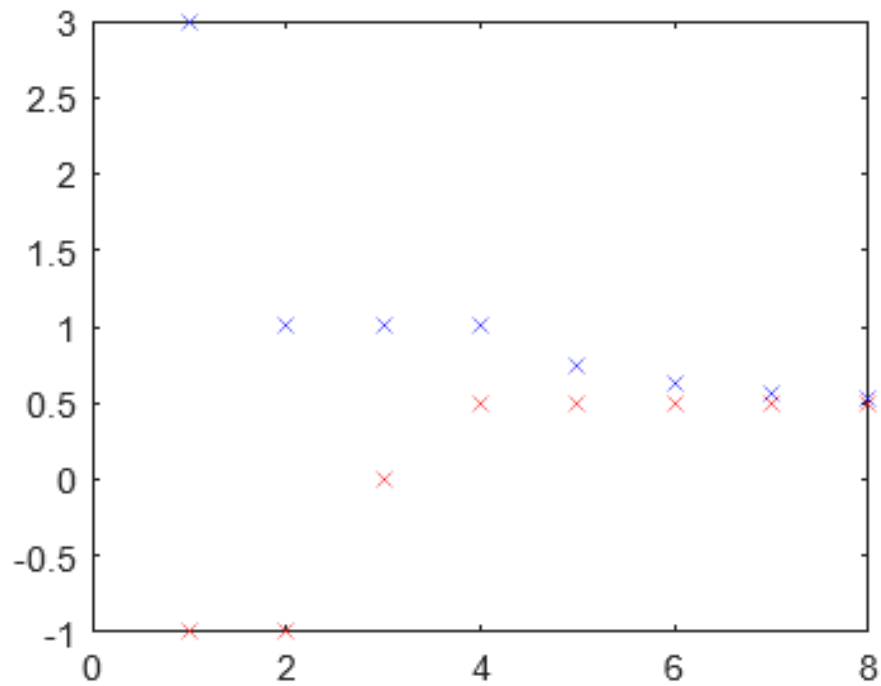
Διαγράμματα  $(k, a_k)$  και  $(k, b_k)$  για την  $f_2$ .

Διάγραμμα 1.5:



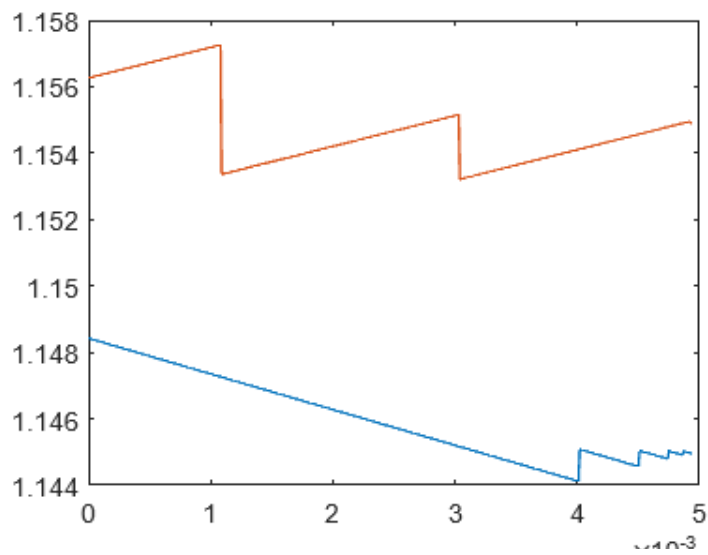
Διάγραμμα με τα τελικά διαστήματα για 100 διαφορετικά  $I$  για την  $f_3$ . Με μεγάλη ακρίβεια παρατηρούμε ότι έχουμε σύγκλιση στην πραγματική τιμή

**Διάγραμμα 1.6:**



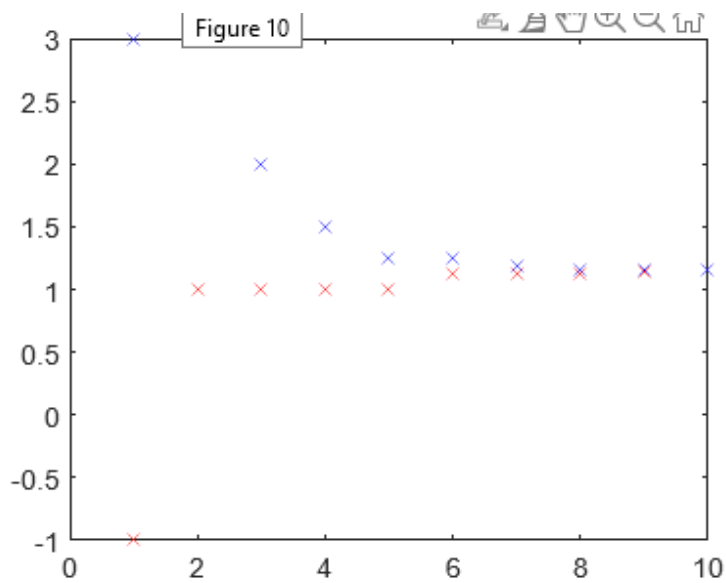
Διαγράμματα  $(k, a_k)$  και  $(k, b_k)$  για την  $f_3$ .

**Διάγραμμα 1.7:**



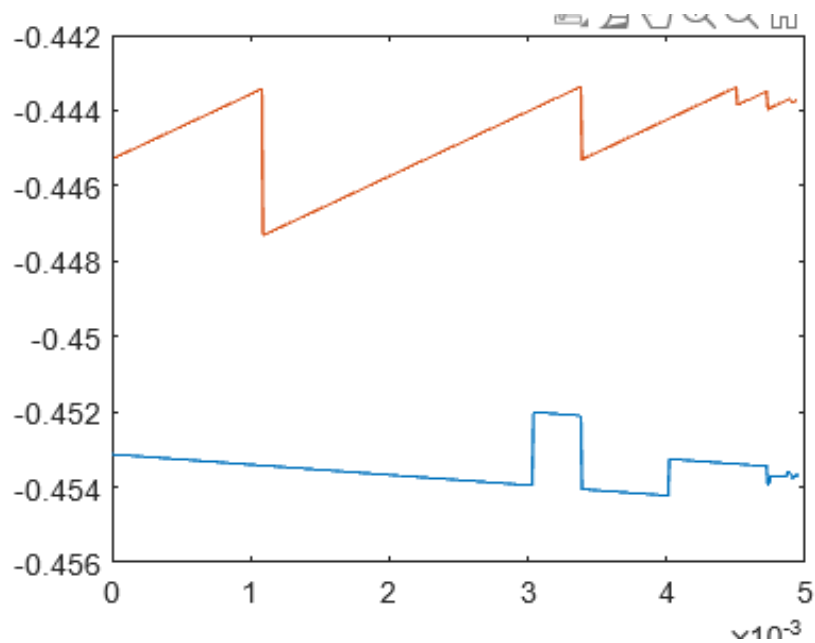
Διάγραμμα των τελικών διαστημάτων για διαφορετικά  $\varepsilon$  με τη χρήση μεθόδου διχοτόμου χωρίς χρήση παραγώγων για την  $f_1$ .

**Διάγραμμα 1.8:**



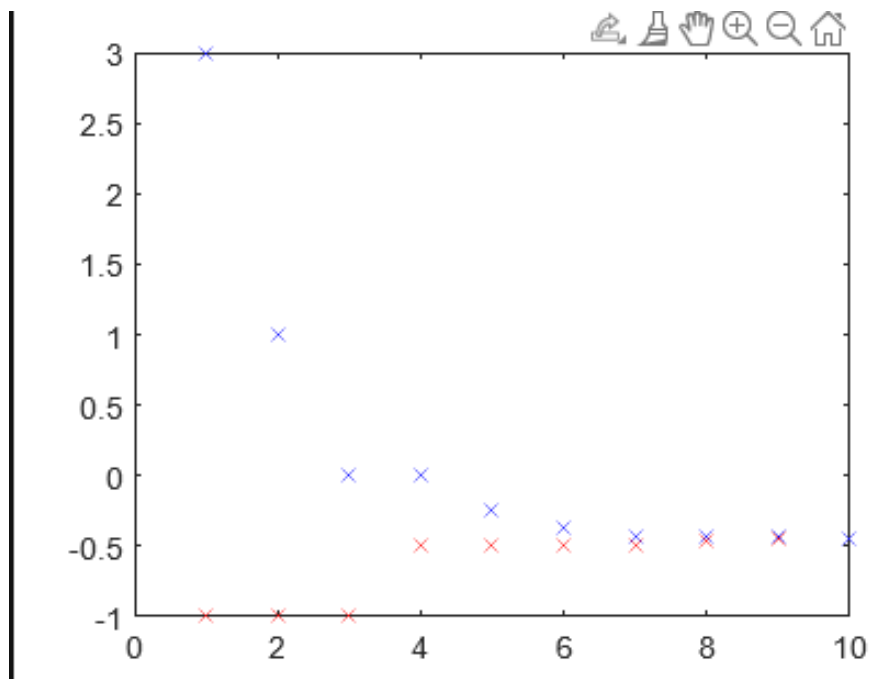
Διαγράμματα  $(k, a_k)$  και  $(k, b_k)$  για την  $f_1$  για διαφορετικά  $\epsilon$ .

**Διάγραμμα 1.9:**



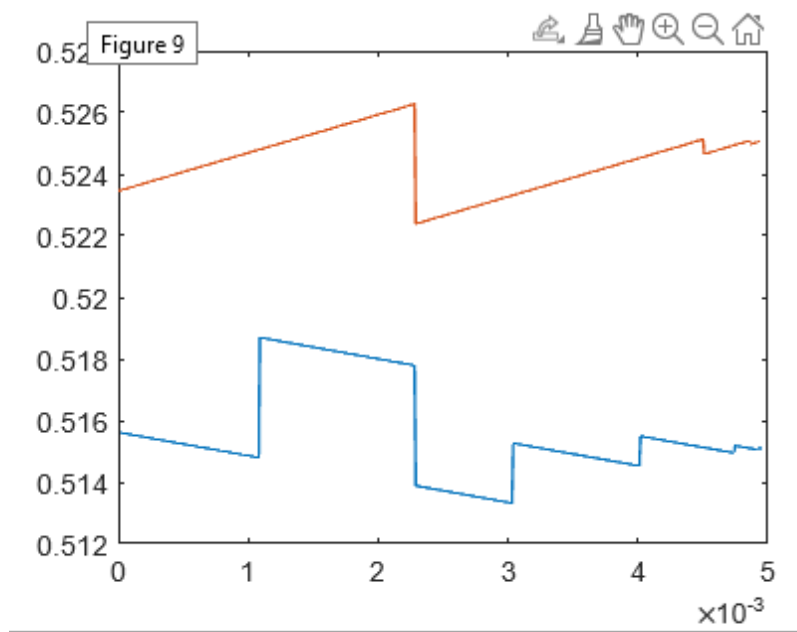
Διάγραμμα των τελικών διαστημάτων για διαφορετικά με τη χρήση μεθόδου διχοτόμου χωρίς χρήση παραγώγων για την  $f_2$ .

**Διάγραμμα 1.10:**



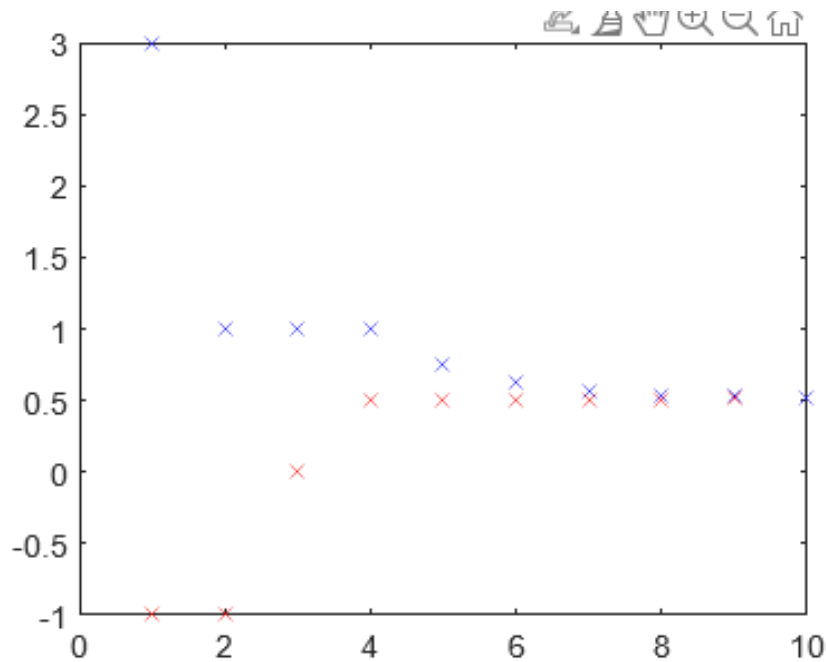
Διαγράμματα  $(k, a_k)$  και  $(k, b_k)$  για την  $f_2$  για διαφορετικά  $\epsilon$ .

**Διάγραμμα 1.11:**



Διάγραμμα των τελικών διαστημάτων για διαφορετικά  $\epsilon$  με τη χρήση μεθόδου διχοτόμου χωρίς χρήση παραγώγων για την  $f_3$ .

**Διάγραμμα 1.12:**



Διαγράμματα  $(k, a_k)$  και  $(k, b_k)$  για την  $f_3$  για διαφορετικά  $\varepsilon$ .

### Παρατηρήσεις:

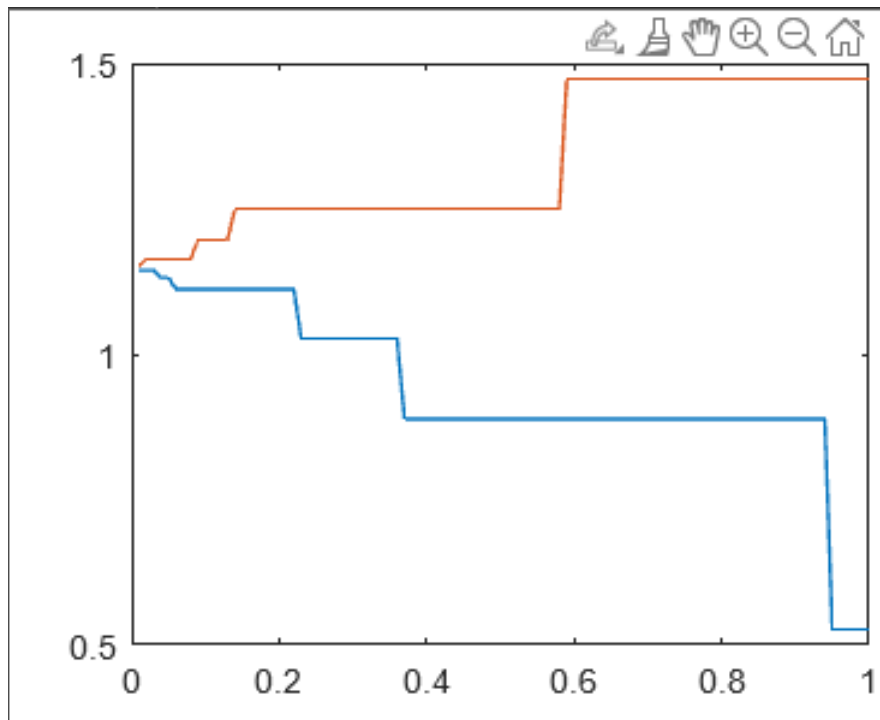
1. Και στα τρία διαγράμματα που περιλαμβάνουν  $(k, a_k)$  και  $(k, b_k)$  βλέπουμε ότι ο αριθμός των επαναλήψεων είναι ο ίδιος. Αυτό συμβαίνει διότι το  $k$  δεν εξαρτάται από τη συνάρτηση που εφαρμόζουμε τον αλγόριθμο.
2. Στα διαγράμματα των τελικών διαστημάτων, όταν το  $l$  γίνεται σχετικά μεγάλο, το διάστημα μένει πρακτικά ίδιο για πολλές επαναλήψεις, έως να βρεθεί νέο  $l$  που να μας δίνει ακόμα περισσότερο ανακριβές διάστημα

### 2ο Θέμα:

Εδώ υλοποιώ τον αλγόριθμο της μεθόδου του Χρυσού Τομέα.

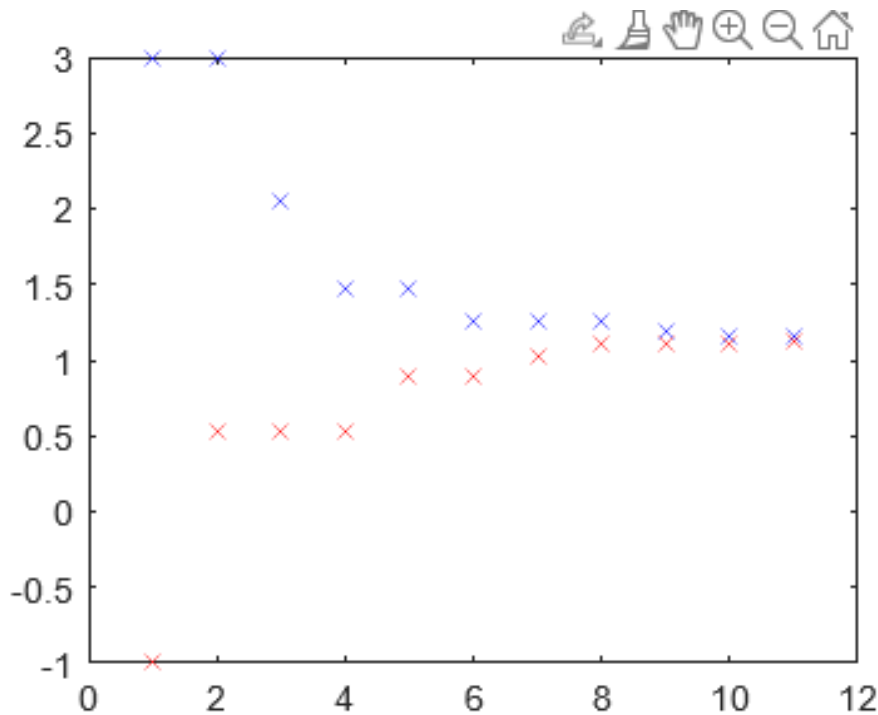


**Διάγραμμα 2.1:**



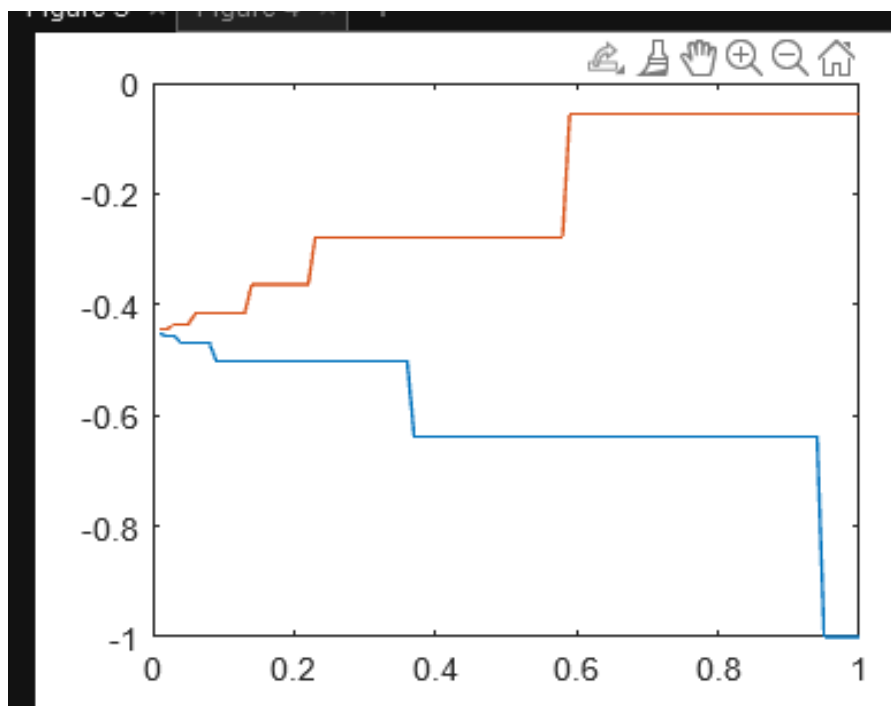
Εδώ με την κόκκινη γραμμή παριστάνεται το άνω άκρο του τελικού διαστήματος, ενώ με το μπλε είναι το κάτω άκρο για τη συνάρτηση  $f_1$ . Τρέχω τον αλγόριθμο για 100 διαφορετικά  $I$ , αυξάνοντας το σε κάθε επανάληψη. Για αυτό και παρατηρούμε στο διάγραμμα πως στην αρχή έχω τη μεγαλύτερη ακρίβεια καθώς το  $I$  είναι μικρότερο. Προσεγγίζω την πραγματική τιμή, η οποία είναι περίπου 1.15, ενώ όσο αυξάνεται το  $I$ , παρατηρούμε ότι το διάστημα μεγαλώνει πολύ, με αποτέλεσμα να μην μπορούμε να εξάγουμε ασφαλή συμπεράσματα για το ελάχιστο της συνάρτησης.

**Διάγραμμα 2.2:**



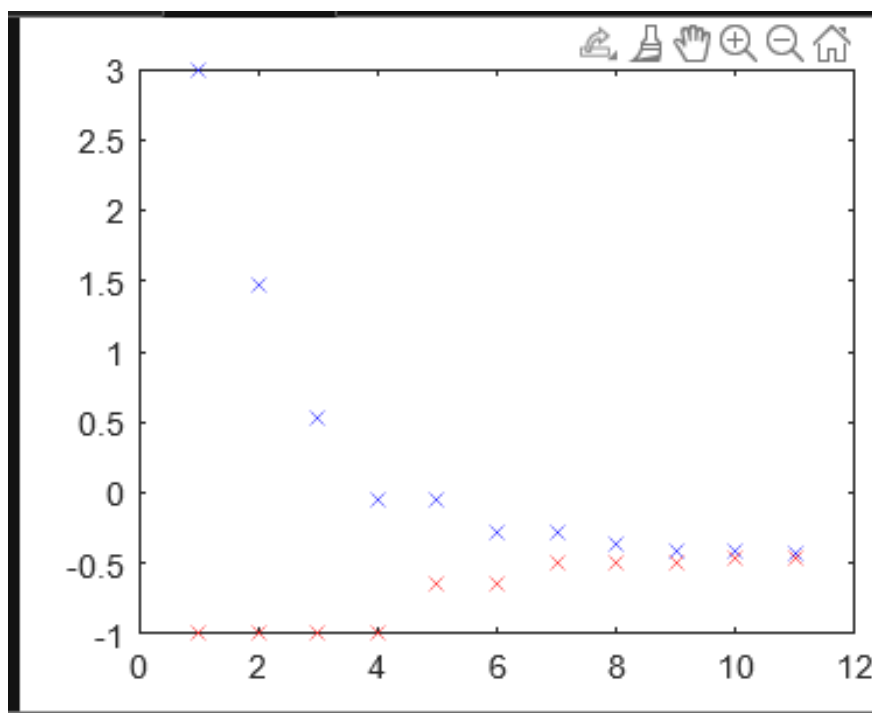
Εδώ παρατηρούμε το διάγραμμα  $(k, a_k)$  με κόκκινα X και το διάγραμμα  $(k, b_k)$  με τα μπλε. Όπως φαίνεται, ο αλγόριθμος χρειάζεται 11 επαναλήψεις για να συγκλίνει στο τελικό διάστημα, σύμφωνα με ένα συγκεκριμένο  $I$ , το οποίο στο συγκεκριμένο παράδειγμα είναι  $I=0.05$ . Βλέπουμε πως σε κάθε επανάληψη μόνο το  $a_k$  ή το  $b_k$  αλλάζει, όπως άλλωστε αναμενόταν. Αν αλλάξουμε το  $I$ , θα έχουμε ελαφρώς διαφορετικό διάγραμμα, ωστόσο η φιλοσοφία παραμένει η ίδια. Θα μπορούσε να είναι και με συνεχή γραμμή, ωστόσο επέλεξα να το παρουσιάσω ως διακριτές τιμές, γιατί σε κάθε επανάληψη τα  $a_k$ ,  $b_k$  έχουν συγκεκριμένες τιμές, οι οποίες και φαίνονται στο παραπάνω διάγραμμα.

**Διάγραμμα 2.3:**



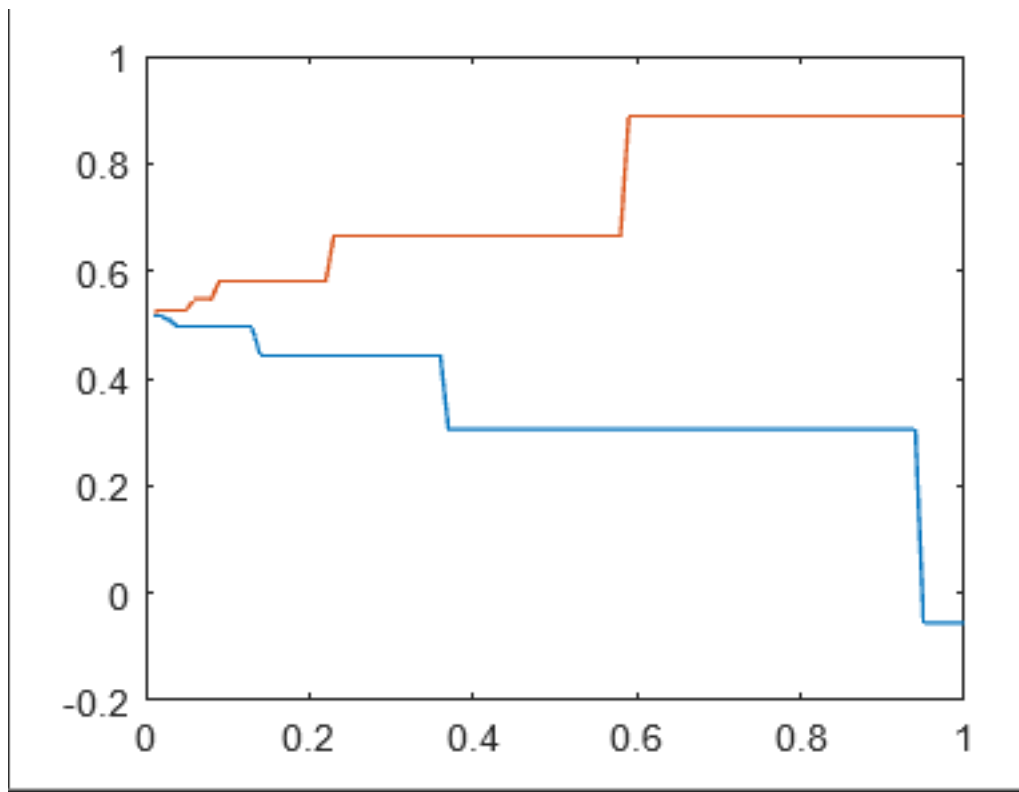
Τελικό διάστημα αναζήτησης για την  $f_2$  με τη χρήση της μεθόδου του Χρυσού Τομέα, για μικρό  $\epsilon$  συγκλίνει στην πραγματική τιμή .

**Διάγραμμα 2.4:**



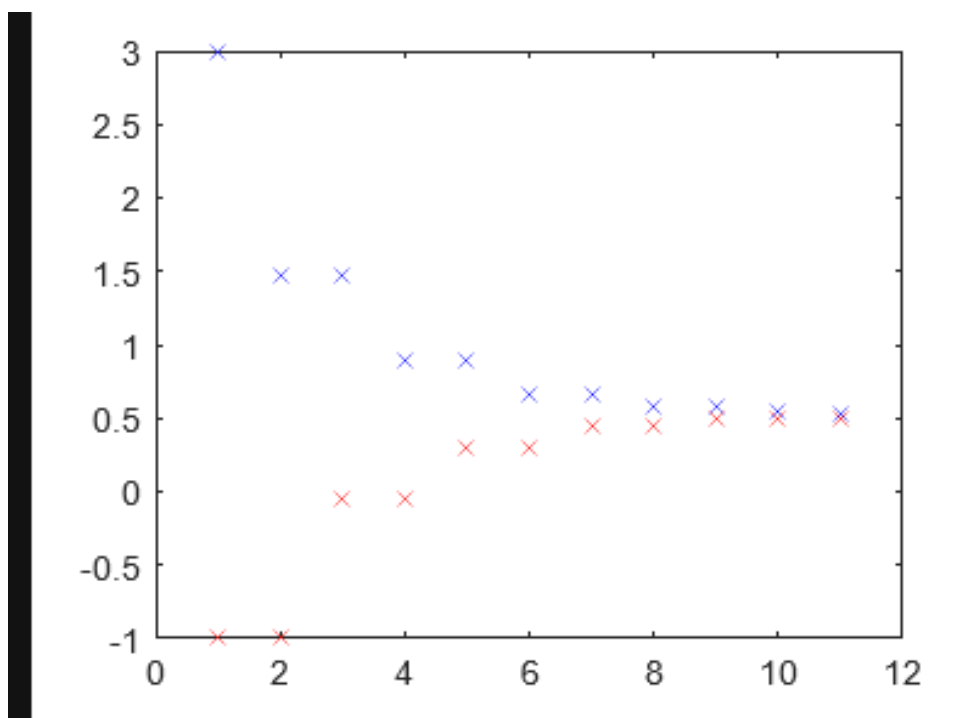
Διαγράμματα  $(k, a_k)$  και  $(k, b_k)$  για την  $f_2$  με τη χρήση μεθόδου Χρυσού Τομέα.

**Διάγραμμα 2.5:**



Διάγραμμα με τα τελικά διαστήματα για 100 διαφορετικά  $I$  για την  $f_3$ . Με μεγάλη ακρίβεια παρατηρούμε ότι έχουμε σύγκλιση στην πραγματική τιμή.

**Διάγραμμα 2.6:**



Διαγράμματα  $(k, a_k)$  και  $(k, b_k)$  για την  $f_3$ .

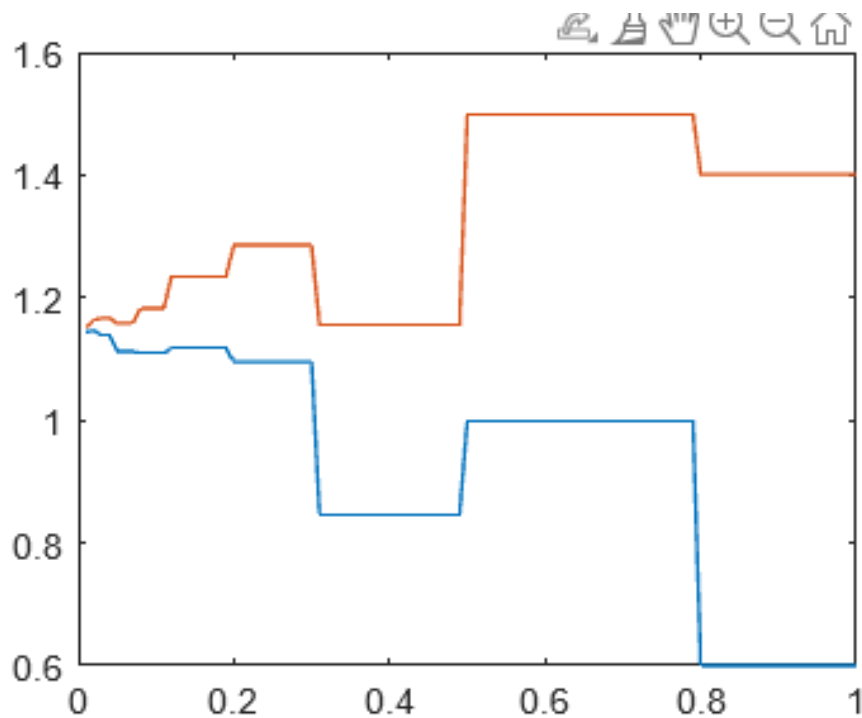
### Παρατηρήσεις:

1. Ομοίως με το Θέμα 1, παρατηρούμε ότι το  $k$  είναι ανεξάρτητο της αντικειμενικής συνάρτησης
2. Με τη χρήση της μεθόδου Χρυσού Τομέα χρειαζόμαστε 11 επαναλήψεις σε αντίθεση με τις 8 που είχαμε με τη μέθοδο διχοτόμων, για ίδιο  $\epsilon$  και  $l$ , συνεπώς συμπεραίνουμε πως αυτή η μέθοδος είναι πιο αργή,
3. Τα διαστήματα που συγκλίνουμε και με τις δύο μεθόδους είναι ίδια, όσο αυξάνουμε την ακρίβεια, τόσο περισσότερο προσεγγίζουμε την πραγματική τιμή

### 3ο Θέμα:

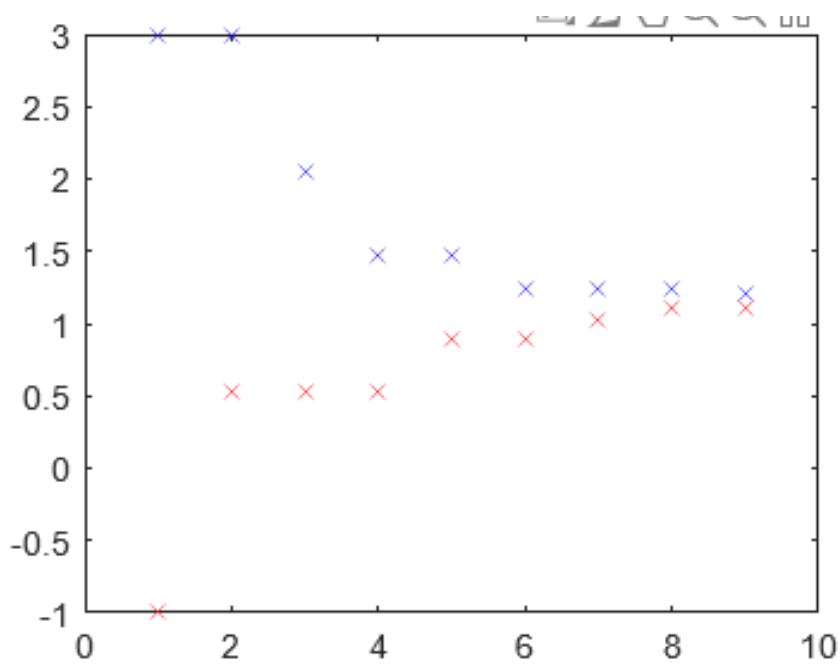
Εδώ υλοποιώ την μέθοδο Fibonacci.

Διάγραμμα 3.1:



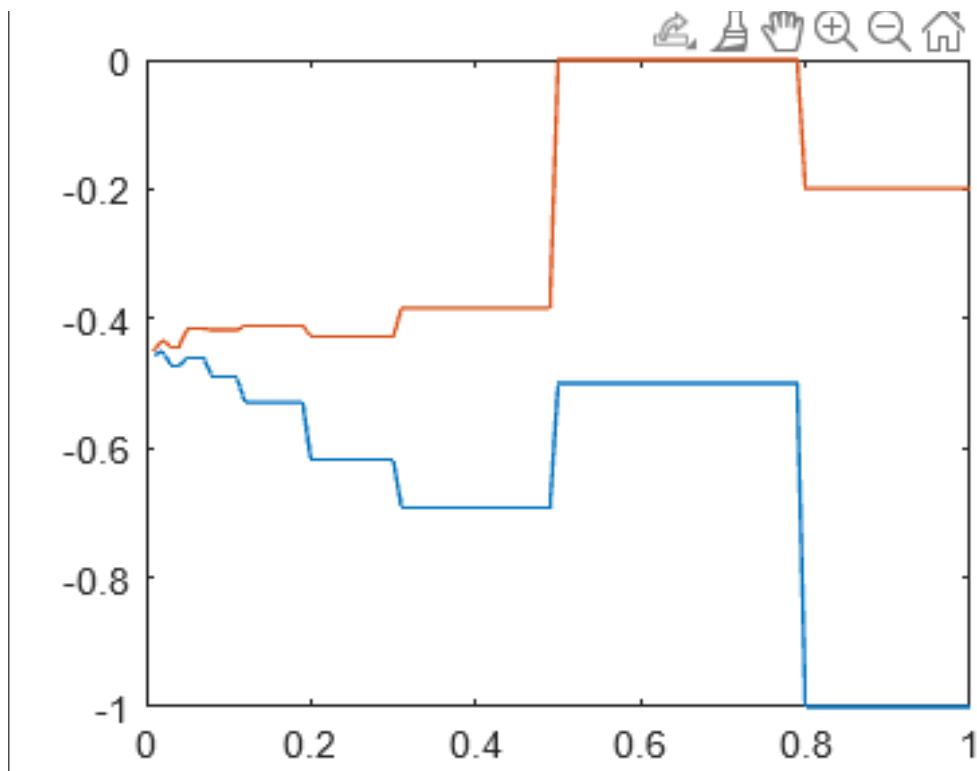
Ομοίως με 2.1.

**Διάγραμμα 3.2:**



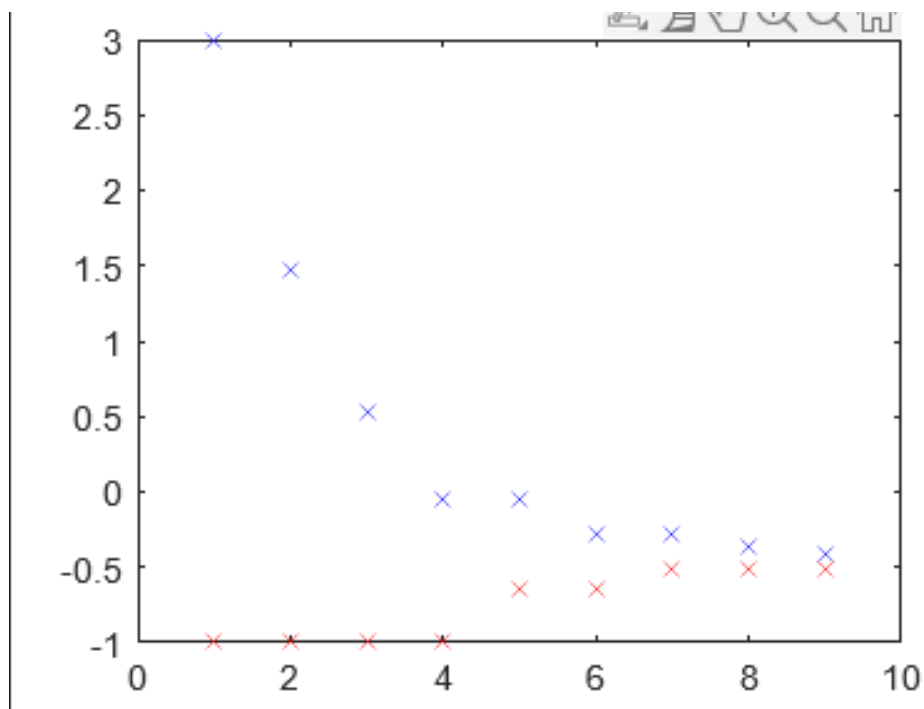
Ομοίως με 2.2, ωστόσο εδώ παρατηρούμε ότι απαιτούνται 9 επαναλήψεις για να τερματίσει ο αλγόριθμος.

**Διάγραμμα 3.3:**



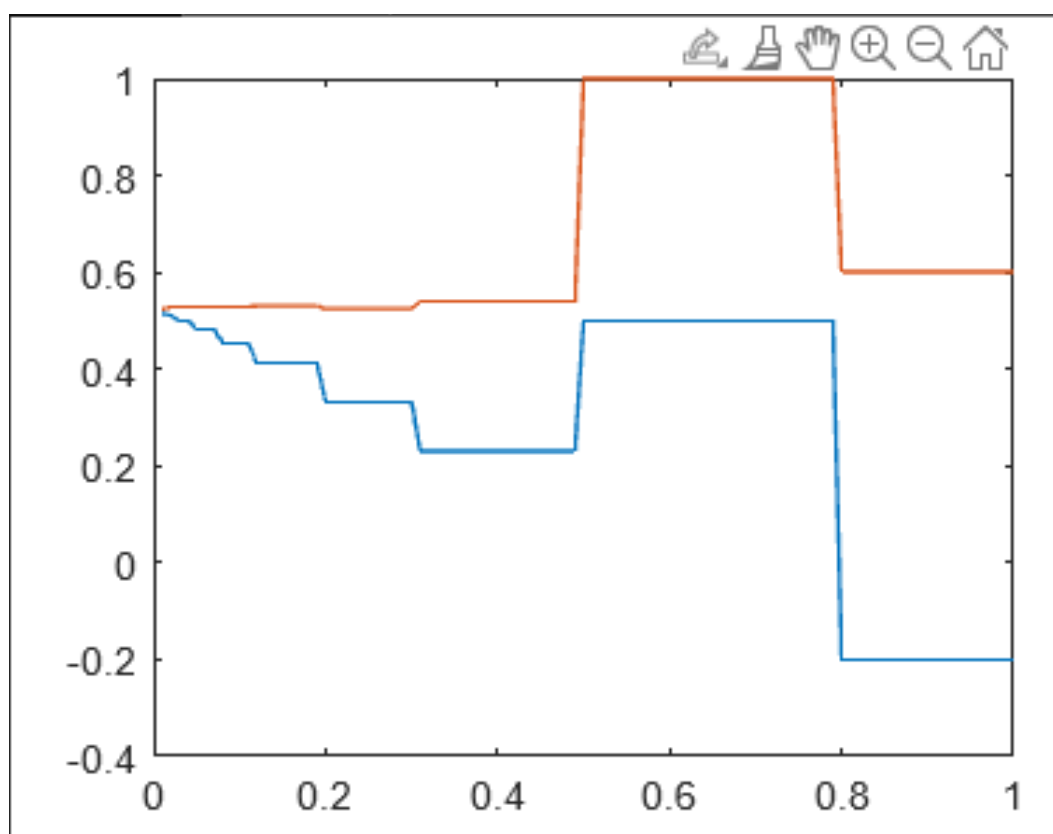
Τελικό διάστημα αναζήτησης για την  $f_2$  με τη χρήση της μεθόδου Fibonacci, για μικρό  $\epsilon$  συγκλίνει στην πραγματική τιμή .

**Διάγραμμα 3.4:**



Διαγράμματα  $(k, a_k)$  και  $(k, b_k)$  για την  $f_2$  με τη χρήση μεθόδου Fibonacci.

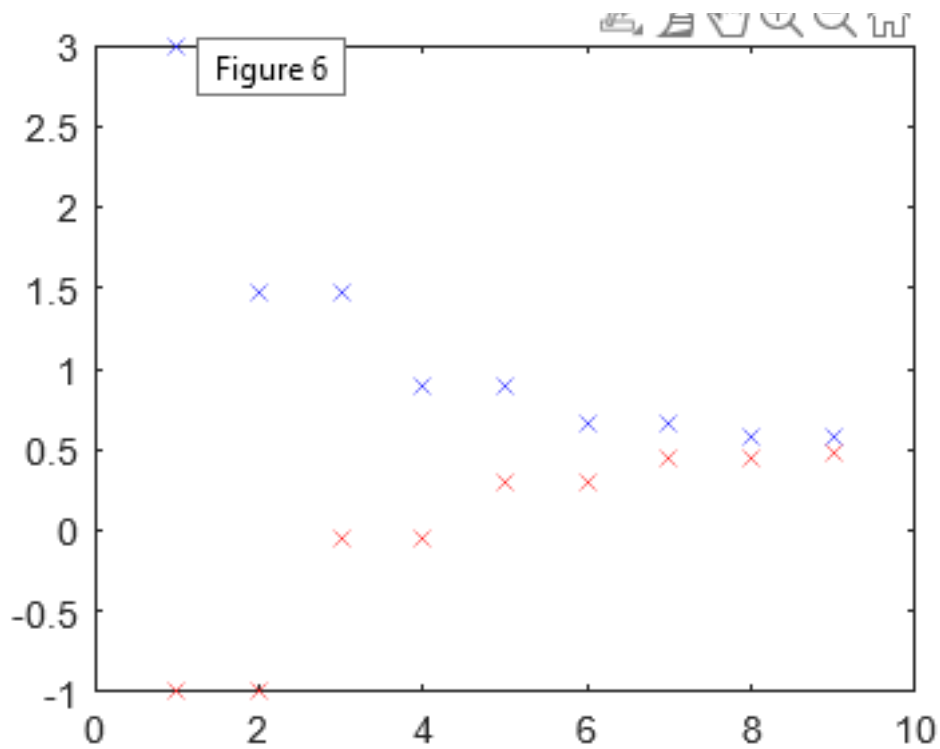
**Διάγραμμα 3.5:**



Διάγραμμα με τα τελικά διαστήματα για 100 διαφορετικά  $I$  για την  $f_3$ . Με μεγάλη ακρίβεια παρατηρούμε ότι έχουμε σύγκλιση στην πραγματική τιμή.



**Διάγραμμα 3.6:**



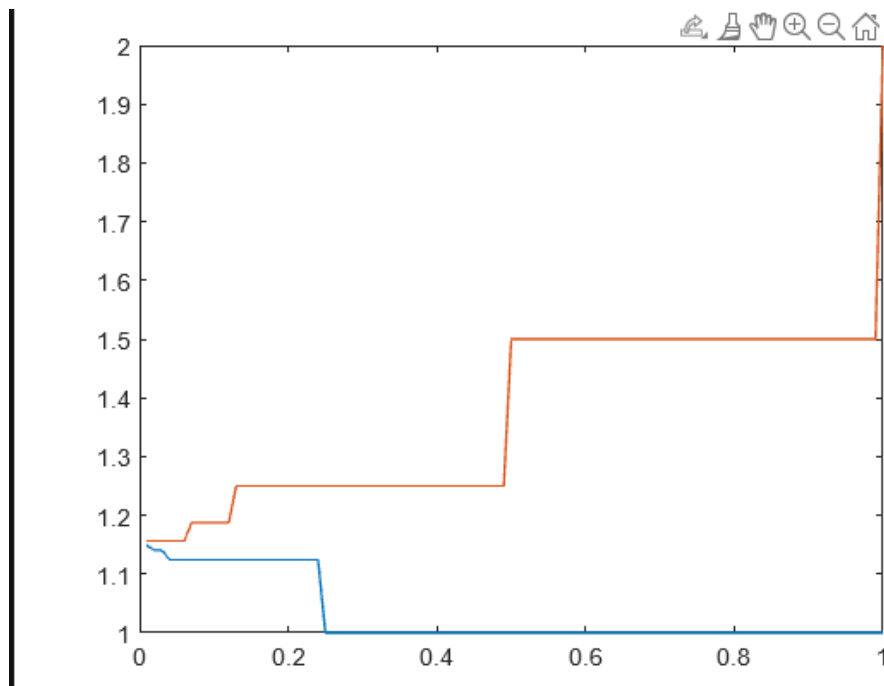
Διαγράμματα  $(k, a_k)$  και  $(k, b_k)$  για την  $f_3$ .

Οι παρατηρήσεις για το  $k$  από τα προηγούμενα θέματα ισχύουν και εδώ, αυτή τη φορά με  $k=9$

#### **4ο Θέμα:**

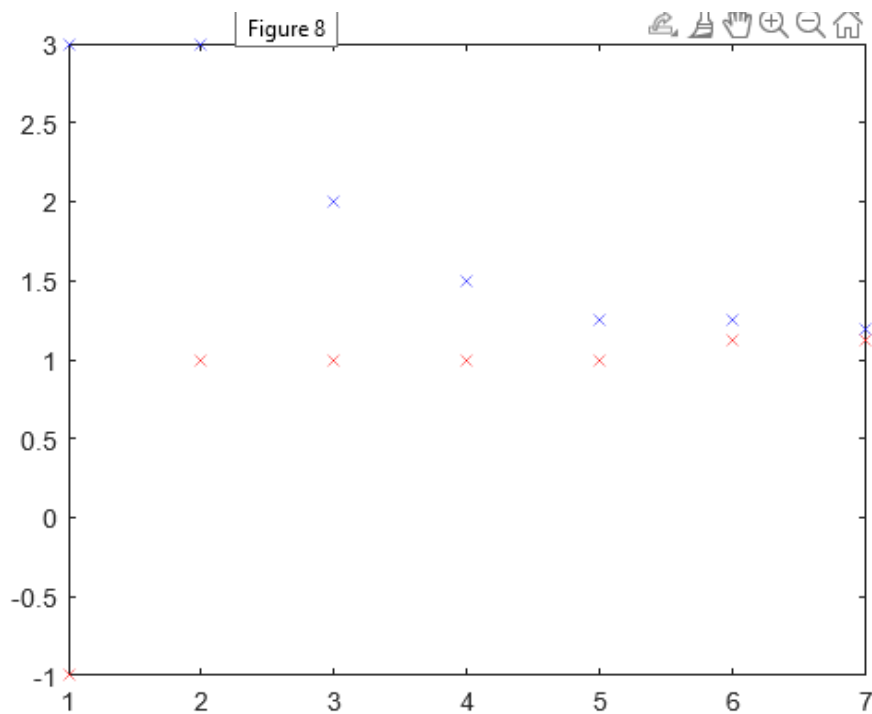
**Ε**δώ υλοποιώ τον αλγόριθμο της μεθόδου διχοτόμου με τη χρήση παραγώγων.

**Διάγραμμα 4.1:**



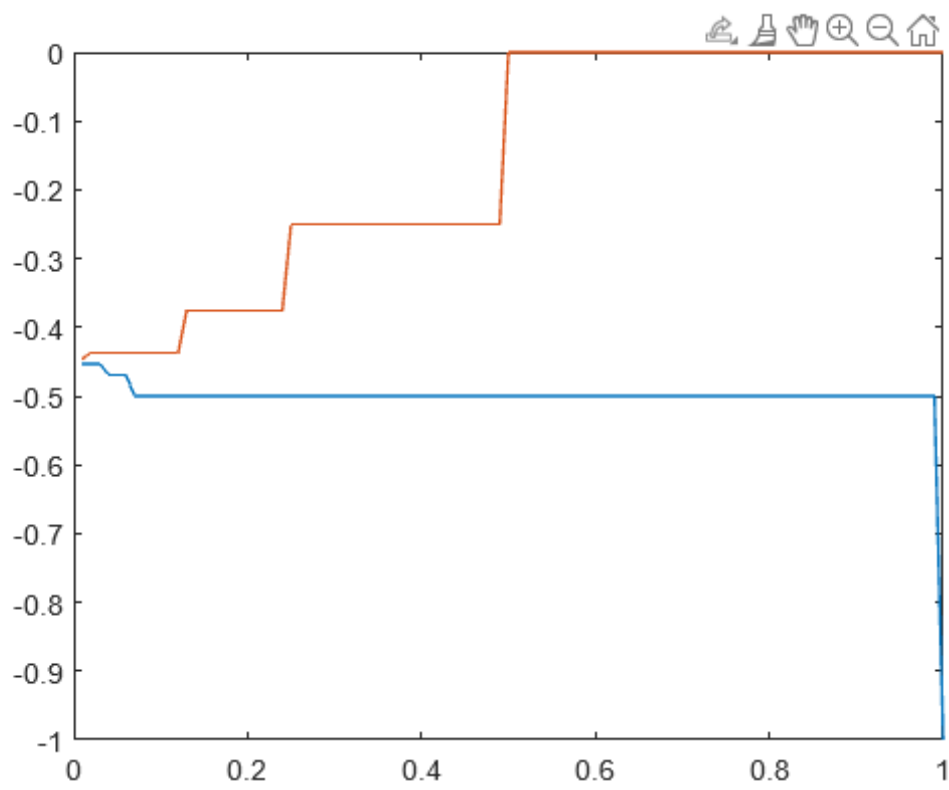
Ομοίως με 2.1.

**Διάγραμμα 4.2:**



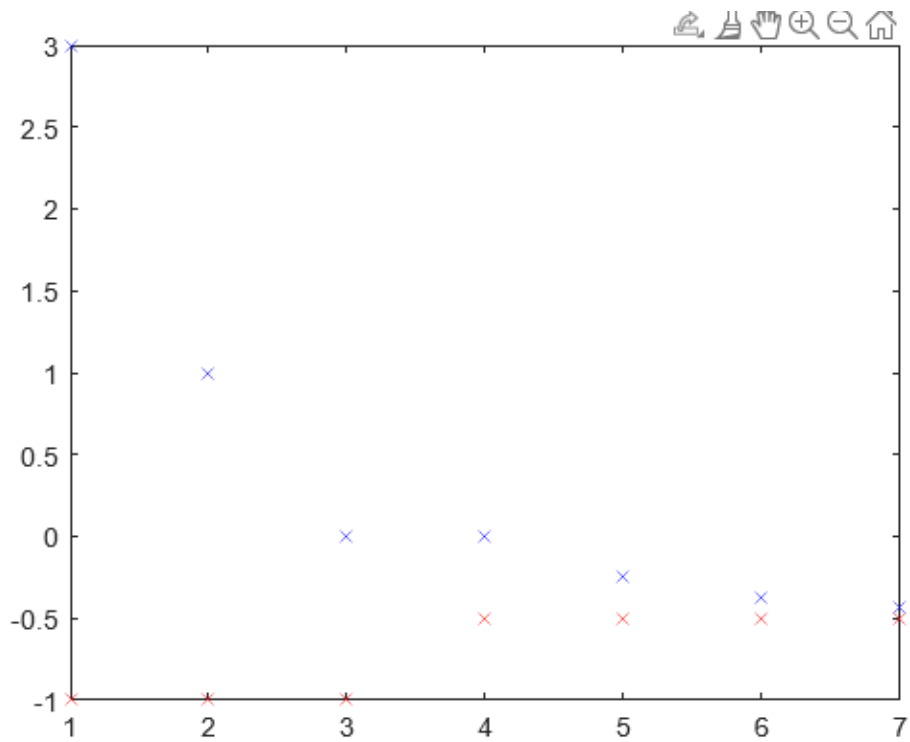
Ομοίως με 2.2, ωστόσο εδώ παρατηρούμε ότι απαιτούνται 7 επαναλήψεις για να τερματίσει ο αλγόριθμος

**Διάγραμμα 4.3:**



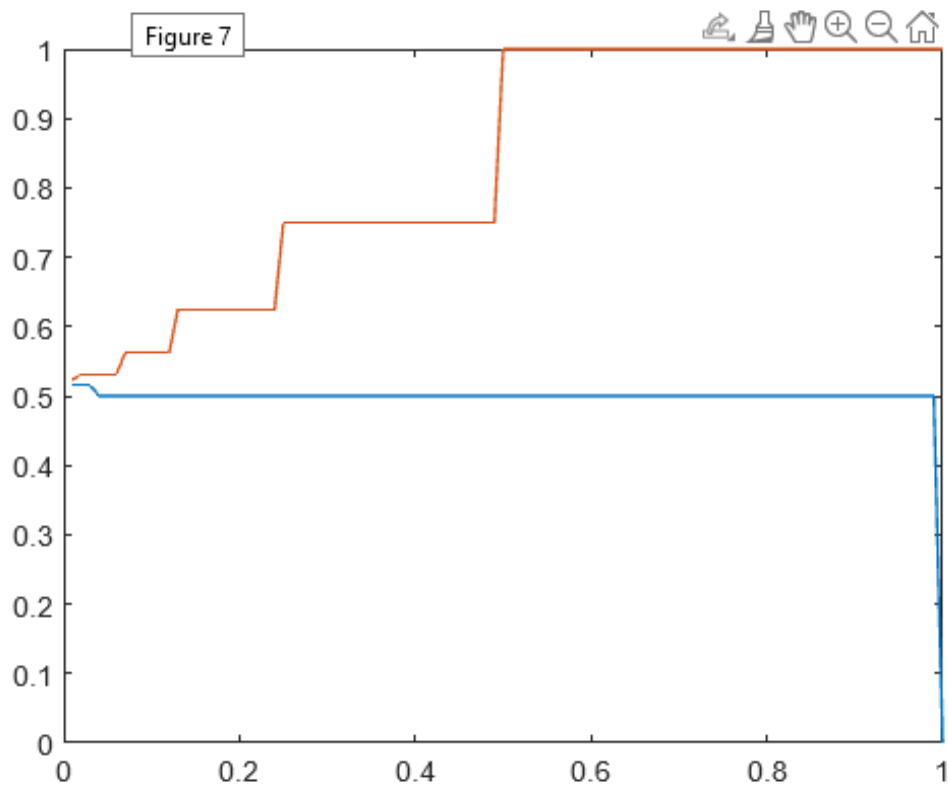
Τελικό διάστημα αναζήτησης για την  $f_2$  με τη χρήση της μεθόδου διχοτόμου με χρήση παραγώγων, για μικρό  $\epsilon$  συγκλίνει στην πραγματική τιμή .

**Διάγραμμα 4.4:**



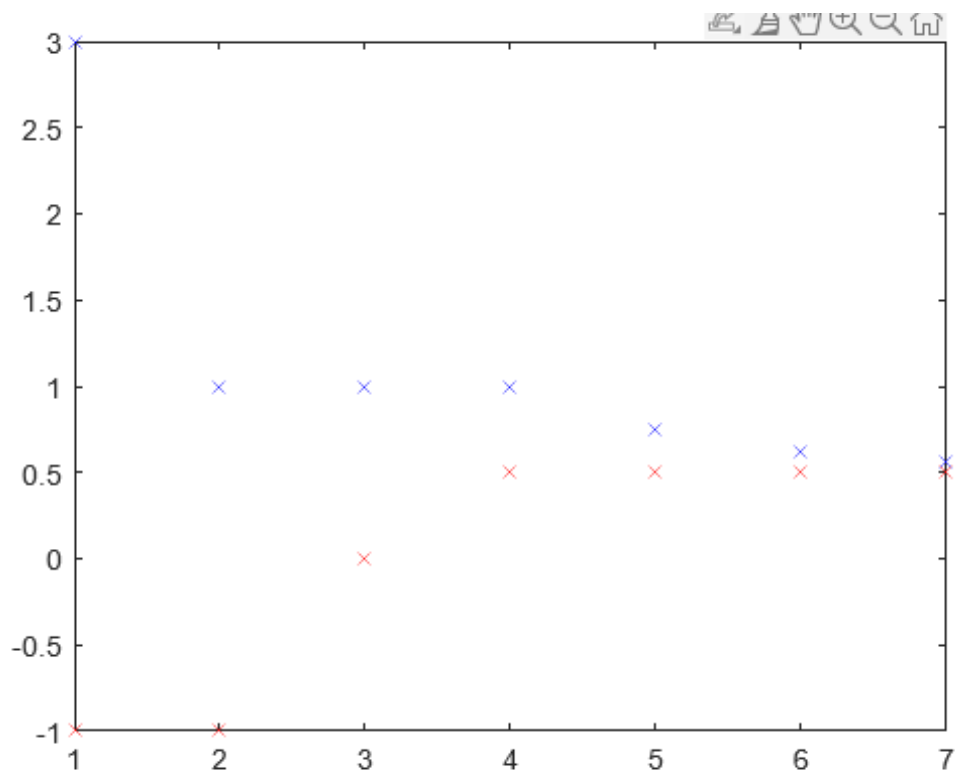
Διαγράμματα  $(k, a_k)$  και  $(k, b_k)$  για την  $f_2$  με τη χρήση μεθόδου διχοτόμου με χρήση παραγώγων.

**Διάγραμμα 4.5:**



Διάγραμμα με τα τελικά διαστήματα για 100 διαφορετικά  $I$  για την  $f_3$ . Με μεγάλη ακρίβεια παρατηρούμε ότι έχουμε σύγκλιση στην πραγματική τιμή.

**Διάγραμμα 4.6:**



Διαγράμματα  $(k, a_k)$  και  $(k, b_k)$  για την  $f_3$ .

#### **Γενικές παρατηρήσεις:**

- Η μέθοδος διχοτόμου με τη χρήση παραγώγων είναι αυτή με τη μεγαλύτερη απόδοση, όπως φαίνεται από τα διαγράμματα.
- Όλοι οι αλγόριθμοι μας δίνουν μια πολύ καλή προσέγγιση της πραγματικής τιμής.
- Στη μέθοδο διχοτόμου με χρήση παραγώγων η παράγωγος της αντικειμενικής συνάρτησης δεν μηδενίζει ποτέ στο συγκεκριμένο παράδειγμα.

\*Στον κώδικα, υπάρχουν επιπλέον σχόλια, τα οποία εξηγούν πως αυτός δουλεύει.

**Κωνσταντίνος Κράντας AEM 9975**